PESQUISA SOBRE AGRESIVIDAD EN EL PSICODIAGNÓSTICO MIOKINÉTICO DEL DR. EMILIO MIRA Y LÓPEZ

ZAIRA GAMUNDI KUSSROW

Y

BELARMINO LÁREZ

A — PLAN GENERAL DE LA PESQUISA

CAMPO DE INVESTIGACIÓN:

Psicodiagnóstico Miokinético del Doctor Emilio Mira y López.

OBJETIVO GENERAL:

Verificar, a través de las desviaciones primarias (D.P.) del plano sagital, hasta qué punto la agresividad manifiesta en la primera parte del P.M.K. es confirmada por la segunda parte del mismo test; investigación que se efectuará a base de las siguientes

HIPÒTESIS:

a) Existe correlación positiva entre la primera y la segunda parte de los trazados, en mano derecha y mano izquierda, del Miokinético;

b) El movimiento de avance en las paralelas comprueba la agresividad manifestada en el avance del zigzag;

c) Existe correlación positiva entre el primer trazado, o sea lineogramas sagitales, y el último trazados, es decir, úes sagitales;

d) La comparación a través de las medias, en las dos manos de los adolescentes masculinos, muestra que la agresividad reaccional es mayor que la potencial;

e) Uno, especialmente, entre todos los trazados sagitales del P.M.K. es el más representativo de la agresividad;

f) Los límites de la zona de normalidad en los adolescentes, son diferentes de los que corresponden a los adultos, en razón de la crisis propia de su edad.

SELECCIÓN DE LA MUESTRA:

Los elementos empleados en esta pesquisa son 100 casos, — adolescentes masculinos —, escogidos al azar, en un universo de estudiantes de curso secundario.

PRECAUCIONES:

Hemos creído prudente desechar, para los efectos de nuestro estudio, aquellos casos que presentan trazados exagerados, por

considerar que tales indicios de psicopaticidad viciarían los resultados de la investigación.

MENSURACIÓN:

De las desviaciones primarias de mano derecha y mano izquierda de los trazados en plano sagital.

TRAZADOS A CONSIDERAR:

a) Primera parte: Lineogramas,

Zigzag,
Cadenas.

b) Segunda parte: Paralelas,

Úes.

ELABORACIÓN ESTADÍSTICA:

El tratamiento estadístico de los elementos de la presente pesquisa, se hará a base de comparación de medias, elaboración de correlaciones por el método de Pearson y determinación de la zona de normalidad de los 100 casos estudiados.

ORDEN DE PRESENTACIÓN:

El trabajo será elaborado en el orden que señalan los siguientes items: concordantes con la letra que acompaña el planteamiento de las hipótesis.

a)

1) Cuadro de correlación de medias de totales, entre la primera y la segunda parte.

2) Cuadro de correlación de medias entre primera y segunda parte, en mano derecha y mano izquierda separadamente.

OBSERVACIÓN:

Ambas correlaciones se harán siguiendo el método de Pearson, acompañadas por el error probable y el error standard correspondientes.

b)

1) Comparación de las medias de los zigzags y paralelas, en manos separadas.

2) Cuadro de correlación, según Pearson, entre zigzags y paralelas, ambas manos, acompañado de su error probable y su error standard.

3) Cuadro de correlación, entre zigzags y paralelas, en mano derecha y mano izquierda, separadamente.

OBSERVACIÓN:

La comparación indicada en el ítem b) 1 —, se hará entre las medias generales del grupo, en cada trazado.

c)

1) Comparación de las medias de los lineogramas y úes sagitales.

2) Cuadro de correlación, según Pearson, entre lineogramas y úes sagitales, en cada mano, con su error standard y error probable.

OBSERVACIÓN:

Para la comparación se tomarán las medidas generales del grupo en cada trazado.

d)

1) Elaboración de las medias generales de toda la prueba en los trazados del plano sagital, en

mano derecha y en mano izquierda, separadamente.

2) Comparación de los resultados.

OBSERVACIÓN:

Queremos significar con la expresión media general, el resultado obtenido de la división del puntaje global de primera y segunda parte, entre el número de trazados en cada mano.

e)

1) Correlaciones entre: Media general y lineogramas;

media general y zigzag;
media general y cadenas;
media general y paralelas;
media general y úes.

OBSERVACIÓN:

El trazado que dé más alta correlación con respecto a la media general, podrá considerarse com el más representativo de la agresividad y en consecuencia, en caso de contradicción, será tomado en cuenta preferentemente.

f)

1) Establecimiento de la zona de normalidad, manipulando ± 1 sigma alrededor de la media.

2) Comparación con la zona de normalidad de adultos obtenida en el I.S.O.P.

GRÁFICOS:

Cada uno de los items esbozados arriba, irá acompañado de su correspondiente gráfico.

1) Cuadros de correlación en los items *a*), *b*), *c*), *e*) y *f*).

2) Diagrama comparativo de las medias de primera y segunda parte, entre sí y la media general.

3) Curvas comparativas de mano derecha, mano izquierda y ambas manos, de acuerdo con la media general respectiva.

4) Comparativo de las medias del zigzag y de las paralelas.

5) Comparativo de las medias de lineogramas y úes.

6) Campanas de mano derecha, izquierda y total, correspondientes a prueba por prueba.

7) Curvas comparativas por prueba, ambas manos y por total.

8) Curva de Gauss, para establecer la zona de normalidad.

B — DESARROLLO DEL PLAN:

1) Conversión de valores: Una vez que fueron obtenidos los resultados, a través de las mediciones de los D.P., del plano sagital, procedimos para mayor facilidad en los cálculos, a convertir los resultados negativos en equivalentes positivos, de acuerdo con una propiedad matemática que dice: "cuando a dos o más números se les agrega o quita una misma cantidad, los resultados no se alteran". Obedeciendo esta convención sumamos 100 a cada uno de los valores, lo que permite que el valor negativo más bajo, que es: menos un centímetro (— 1 cm.), pase a la escala positiva con el valor convencional 99, siendo que el positivo 1, es así convertido en 101.

2) Arredondeamiento: Alineados así los datos correspondientes a cada una de las partes o trazados del test, todavía para fines

de simplificación pasamos al arredondeamiento de los números para enteros, adoptando para ello la regla de Guilfort en el caso de ser 5 el terminal, o sea: si la cifra precedente es par, se mantiene tal cual, si es impar, se agrega el medio punto. En esta forma, quedamos habilitados para trabajar únicamente con números enteros, sistema cuyas ventajas son obvias.

3) Obtención de las medias: Los cálculos propuestos fueron efectuados, en los casos en que correlacionamos primera y segunda parte, a través de la media aritmética de los individuos, sin discriminación de la mano a que correspondía el trazado. En los casos en que hubo necesidad de tratar separadamente los trazados de cada mano, nos servimos del total de milímetros, correspondientes a la longitud del trazado en aprecio.

4) Agrupación en clases: Los datos fueron agrupados en clases, tomando como límite inferior de la primera clase el valor más bajo de los elementos a considerar, variando el intervalo y el número de clases de acuerdo con la amplitud total, como era lógico.

5) Correlaciones: Siguiendo los lineamientos prefijados en el plan de la pesquisa, realizamos por el método del "scatter diagram" y sirviéndonos de la fórmula de Pearson

$$r = \frac{\frac{\Sigma xy}{100} - (Cx.Cy)}{\sigma x.\sigma y}$$

trece correlaciones, a saber:

1. — Correlación entre medias de totales, primera y segunda parte.
2. — Correlación entre medias de mano derecha, primeira y segunda partes.
3. — Correlación entre medias de mano izquierda, primera y segunda partes.
4. — Correlación entre medias de totales de zigzags y paralelas.
5. — Correlación entre medias de zigzags y paralelas, mano izquierda.
6. — Correlación entre medias de zigzags y paralelas, mano derecha.
7. — Correlación entre medias de total general y zigzags.
8. — Correlacion entre medias de total general y paralelas.
9. — Correlación entre medias de total general y lineogramas.
10. — Correlación entre medias de total general y úes.
11. — Correlación entre medias de total general y cadenas.
12. — Correlación entre lineogramas y úes, mano derecha.
13. — Correlación entre lineogramas y úes, mano izquierda.

NOTA: En las prenombradas correlaciones, quedaron comprobadas la hipótesis *a, b, c* y *e*, contenidas en el plan. Así, con las correlaciones 1-2-3, la correspondiente al ítem *a;* con la correlación 4, la correspondiente al ítem b; con las correlaciones 5 y 6, la correspondiente al ítem *c;* con las correlaciones 7, 8, 9, 10 y 11, la correspondiente al ítem *e*. En el análisis de los resultados destacaremos el valor estadístico de cada uno de los r.

En todas las correlaciones fueron calculados los respectivos

errores standards y probables, siguiendo las fórmulas

$$r = \frac{1 - r^2}{\sqrt{N}}$$

$$Epr = 0{,}6745 \times \Sigma r$$

6) — GRÁFICOS:

Los comparativos fueron preparados en polígonos de frecuencias así:

n.º 1. — Representación de las medias de totales, primera y segunda parte y general.

n.º 2. — Representación de medias totales, izquierdas, derecha y general.

n.º 3. — Representación de zigzags y paralelas, ambas manos.

n.º 4. — Representación de lineogramas y úes, ambas manos.

n.º 5. — Representación de lineogramas, mano derecha, izquierda y ambas manos.

n.º 6. — Representación de zigzags, mano derecha, izquierda y ambas manos.

n.º 7. — Representación de paralelas, mano derecha, izquierda y ambas manos.

n.º 8. — Representación de cadenas, mano derecha, izquierda y ambas manos.

n.º 9. — Representación de úes, mano derecha, izquierda y ambas manos.

n.º 10. — Representación de los trazados de mano izquierda, primera parte y total general.

n.º 11. — Representación de los trazados de mano izquierda, segunda parte y total general.

n.º 12. — Representación de los trazados de la mano izquierda, primera y segunda partes y total general.

n.º 13. — Representación de los trazados de mano derecha, primera parte y total general.

n.º 14. — Representación de los trazados de mano derecha, segunda parte y total general.

n.º 15. — Representación de los trazados de mano derecha, primera y segunda partes y total general.

n.º 16. — Representación de la curva de distribución normal, total general.

A través de estos comparativos enumerados dimos cumplimiento al aspecto gráfico proyectado, dejando así claramente expresados fenómenos que serían difusos, contando apenas con el análisis numérico de los resultados de las variables estudiadas.

C — ANÁLISIS DE LOS RESULTADOS

Estudio de las correlaciones: En el estudio del primer cuadro de correlación, hecho entre medias de totales, primera y segunda del test, se corrobora la hipótesis *a*, formulada por nosotros en el sentido de que existía correlación positiva entre la primera y la segunda parte del P.M.K.. En efecto, tanto en totales, como em manos separadas, según se aprecia en los resultados de los cuadros N.º 2 y 3, se estableció estadísticamente que el valor de tales correlaciones es el siguiente:

Entre *M* totales de Primera y Segunda parte r = 0,22; Er = = 0,095; Epr = 0,064.

Entre *M* de mano izquierda, Primera y Segunda parte r = 0,18; Er = 0,096; Epr = 0,064.

Entre *M* de mano derecha, Primeira y Segunda parte r = = 0,29; Er = 0,091; Epr = 0,061. Se deduce de esto que existe correlación y que ésta es positiva, según lo previsto, aunque su valor numérico, según las tablas americanas no sea muy significativo. Los errores probables respectivos, nos dan la confirmación de la validez estadística de los r.

En el estudio de los cuadros 4-5 y 6, correspondientes a la hipótesis *b*, en la cual presuponíamos que el movimiento de avance en las paralelas comprueba la agresividad manifestada en el avance del zigzag, obtuvimos estos datos numéricos:

Entre*M* totales de zigzags y paralelas r = 0,01; Er = 0,099; Epr = 0,067.

Entre zigzags y paralelas, mano izquierda r = — 0,16; Er = 0,097; Epr = 0,065.

Entre zigzags y paralelas, mano derecha r = 0,07; Er = = 0,099; Epr = 0,067.

Nos llama la atención la ausencia de correlación entre pruebas que habíamos pensado darían un alto coeficiente. Como más adelante demostraremos con algunos datos, ambas aprecian, evidentemente, la agresividad del sujeto. ¿Es que miden aspectos motrices distintos, ya que el zigzag es realizado con la coordinación de ambas manos y las paralelas con manos separadas?

Interesante será correlacionar las pruebas entre sí para corroborar esta sugestión que apuntamos y que nos permite suponer que en ello radique la ausencia de coeficientes significativos.

Por otro lado se da el caso de que la M del zigzag es 92 y su sigma ± 22, vale decir, que en su traducción a milímetros, obtuvimos la cantidad negativa de — 8. Esta cifra concuerda por su signo con las afirmaciones hechas por el propio Doctor Mira en lo que respecta a características del zigzag y de las paralelas, o sea, que lo normal en dichos trazados es que sus desviaciones primarias sean negativas.

En las paralelas la M es 93, con sigma de ± 26,07, es decir, deducido de la escala centesimal a que llevamos las medidas, — 7 mm.

Para mano izquierda, los resultados son:

Zigzag: M = 94 ± 22,66 = = — 6 mm.

Paralelas: M = 91 ± 26,07 = = — 9 mm.

Para mano derecha, tenemos:

Zigzag: M = 94 ± 23,10 = = — 6 mm.

Paralelas: M = 96 ± 31,35 = = — 4 mm.

Estos resultados comparativos de las medidas son halagueños y confirman, tanto por su valor, como por el signo, lo indicado por el Doctor Mira, en sus últimas aulas sobre P.M.K.

Con el examen de los resultados obtenidos en los cuadros 12 y 13, nos abocamos a la comprobación de la hipótesis *c*, que supone correlación positiva entre el primer trazado, lineogramas, y el último trazado, úes, del plano sagital.

Los coeficientes obtenidos tanto em mano derecha como en mano izquierda, son positivos y están representados por los siguientes valores:

Mano izquierda: r = 0,21; Er = 0,095; Epr = 0,06.

Mano derecha: r = 0,20; Er = 0,096; Epr = 0,064.

Las medias halladas:

	Mano derecha	*Mano izquierda*
Lineogramas =	116	114
Úes	114	121

Parecen indicar que la mano temperamental, más inhibida en la primera parte, se libera luego que en el curso de toda la prueba toma confianza y disminuye el control. La diferencia que en el sentido inverso se aprecia en la mano derecha no es significativa, mostrando equilibrio mayor de la mano dominante.

El estudio del item *d*, en el cual expresamos la hipótesis de que la comparación, a través de las medias, en las dos manos de los adolescentes masculinos, muestra que la agresividad reaccional es mayor que la potencial, nos dió los resultados siguientes:

M del total general = 105.
M mano izquierda = 104.
M " derecha = 105.

Podemos considerar que en el cumplimiento de la prueba en general, no hay diferencia en las medias. Ahora bien, viendo un cuadro comparativo por partes, entre mano derecha e izquierda tenemos:

	Primera Parte	*Segunda Parte*
Mano izquierda:	108	100
Mano derecha:	108	104
M total:	108	102

Las diferencias de las medias se hacen más evidentes, por partes y por manos, especialmente en la mano izquierda, notándose la disminución de valores medios en la segunda parte, lo que puede indicar: 1.° — la formación de nuestra hipótesis, 2.° — que existe una adaptación o control, 3.° — que la agresividad en la segunda parte se manifiesta con menos intensidad, 4.° — que la agresividad que se aprecia en la segunda parte es de tipo diferente de la que mide la primera, 5.° — podrá deberse a la estructura o configuración de los trazados en una y otra parte.

El estudio de la hipótesis *e*, nos ofrece estas correlaciones entre total general e prueba por prueba. Son las correspondientes a los cuadros numerados 7-8-9-10 y 11

Total General y Lineogramas:	r = 0,37	Er = 0,0863	Epr = 0,058
" " " Zigzag:	r = 0,54	Er = 0,0708	Epr = 0,047
" " " Cadenas:	r = 0,69	Er = 0,052	Epr = 0,035
" " " Paralelas:	r = 0,65	Er = 0,057	Epr = 0,038
" " " Úes:	r = 0,59	Er = 0,065	Epr = 0,043

Los r muestran el siguiente orden en cuanto a representatividad de los trazados del plano sagital: 1 — cadenas, 2 — paralelas, 3 — úes, 4 — zigzags, 5 — lineogramas, lo cual confirma lo expresado por el Doctor Mira.

El estudio del ítem *f*, nos induce, al examinar los resultados de los cálculos respectivos, a establecer una zona de normalidad entre 93 y 117, pues la media de la agresividad de este grupo estudiado es 105, con una desviación standard de más o menos 12 (± 12), lo cual llevado a milímetros comprendería como normal, todo tamaño entre los límites de — 7 y 17, en la media de los trazados del plano sagital.

GRÁFICOS:

Observando el cuadro número 14, se aprecia la mayor dispersión de los valores correspondientes a la segunda parte, siendo que éstos oscilan entre los intervalos 55-61 y 146-152, marcándose un gráfico algo irregular; en la primeira parte, el rango va del intervalo 76-82 a 132-138 y la representación es más regular.

Las medias indicadas en las perpendiculares con los colores correspondientes, muestran una mayor armonía para la primera parte, lo cual nos hace suponer que quizás se deba a una mejor estructuración de la primera parte del P.M.K. en el plano sagital.

El cuadro número 15 permite destacar que la dispersión en mano izquierda va del intervalo 55-65 al 124-168, presentándose en forma armónica, tanto en el polígono como en la relación con su media. En mano derecha el diseño es algo irregular en un punto solamente; en cambio la variabilidad es menor, con límites en los intervalos 76-82 y 139-145.

En el cuadro número 16, ambos trazados presentan características similares en su representación gráfica, pues inician y terminan en los mismos intervalos 42-52 y 152-162; tienen su punto medio en el intervalo 86-96 y muestran un perfil bastante irregular.

En el cuadro número 17, el rango de los lineogramas abarca la diferencia de los intervalos 86-96 y 130-140. Buena curva, pese a su dispersión de valores.

El polígono de las úes tiene su base entre los límites 53-63 y 141-151. La media de ambos trazados coincide en la misma clase.

Se inician en el cuadro número 18, la serie correspondiente a la representación de prueba por prueba, comenzando con los lineogramas, marcado con ese número. El N.° 19 corresponde al zigzag, el 20 a las cadenas, el 21 a las paralelas y el 22 a las úes.

La distribución de los totales en el polígono de frecuencias es más regular (tendiente a la curva normal) en los lineogramas, paralelas y úes; en el zigzag y cadenas, presenta el perfil alguna dispersión que rompe la armonía del ascenso.

Los trazados presentan la siguiente dispersión de totales:

1) Lineogramas de intervalo: 95-105 a 128-138
2) Zigzags de intervalo: 40-50 a 161-171

3) Cadenas de intervalo: 51-61 a 172-182
4) Paralelas de intervalo: 40-50 a 150-160
5) Úes de intervalo: 51-61 a 150-160

En los gráficos 23-24 y 25, observamos la distribución de los trazados de mano izquierda, correspondiente a la primera parte, segunda parte y un comparativo general de izquierda.

Los dos trazados que abarcan rango mayor son:

las cadenas, que van del intervalo 40-50 al 183-193,

las paralelas, que van del intervalo 29-39 al 161-171.

En los gráficos 26-27 y 28, que corresponden al polígono de frecuencias de los trazados de mano derecha, por partes y en total, observamos que también cadenas y paralelas son los trazados de mayor variabilidad.

El polígono de las úes de los lineogramas es bastante armónico.

El cuadro 29, representa la distribución del total general en el plano sagital de todo el P.M.K., mostrando una curva aceptable sin irregularidades en su perfil, que nos autorizó a hacer el tratamiento estadístico de los datos con prescindencia de los signos.

El rango oscila entre los intervalos 77-83 y 133-139. La media cae en el punto 105 y hemos marcado la zona correspondiente a ± 1 sigma, cuyos límites quedan indicados en los puntos 94 y 116, señalando así la zona de normalidad.

Zona de normalidad

Adultos brasileños (28 indivíduos).

$$M = 1{,}86 \pm 22{,}1.$$

Adolescentes brasileños (100 indivíduos).

$$M = 5 \pm 12.$$

Es evidente el mayor grado de agresividad de los adolescentes estudiados con respecto a los adultos del mismo medio; diferencia esta que puede deberse a la circunstância que apuntábamos en nuestra hipótesis, de estar los adolescentes atravesando el período crítico de afirmación de su personalidad.

D — CONCLUSIONES:

a) Se confirma la hipótesis *a*, o sea la correlación positiva entre la primera y la segunda parte del P.M.K., si bien con un coeficiente bastante bajo, que tal vez se deba a interferência de los procesos de mensuración.

b) Se confirma la hipótesis *b*, o sea, que el avance en las paralelas comprueba la agresividad manifestada en el avance del zigzag, con una correlación positiva para la mano derecha y negativa para la izquierda, debiendose esta falta de correspondencia quizás a la interferencia de los desvíos axiales, que no fueron considerados por nosotros a los efectos de nuestra pesquisa.

c) Se confirma la hipótesis *c*, o sea la existencia de correlación positiva entre el primer trazado, lineogramas sagitales, y el último trazado, úes sagitales, con la constancia de los resultados en las dos manos.

d) Se confirma la hipótesis *d*, o sea, que la agresividad reaccio-

nal es mayor que la potencial, en los adolescentes, aunque levemente y principalmente en la segunda parte.

e) Se confirma la hipótesis *e*, o sea, que uno de los trazados del P.M.K., en el plano sagital, es el más representativo de la agresividad, resultando ser las cadenas la prueba más significativa, a juzgar por el coeficiente encontrado para ella, mayor al hallado para cada uno de los demás trazados. De la comprobación de esta misma hipótesis se deduce un elevado índice de coherencia interna del Psicodiagnóstico Miokinético, comprobado por la poca fluctuación entre las correlaciones de las pruebas entre sí.

f) se confirma la hipótesis *f*, con la comparación de la zona de normalidad de los adolescentes masculinos brasileños, por nosotros establecida, con la hallada en la pesquisa realizada por el I.S.O.P. entre adultos normales.

CURVA 15

MEDIAS TOTALES

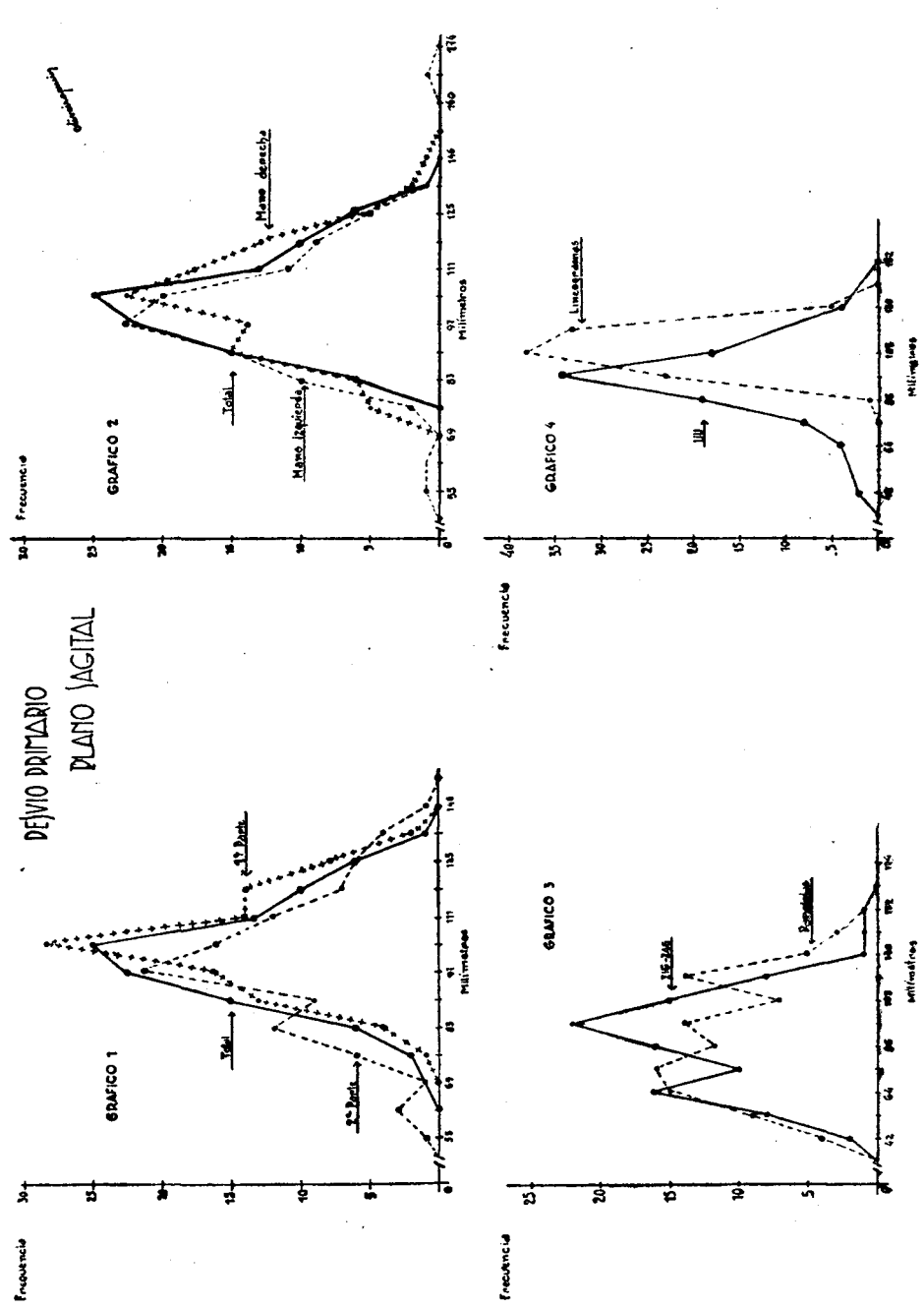
	Mano izquierda	Mano derecha	General
174-168	1		
167-161			
160-154			
153-147			
146-139		1	
138-132	1	2	1
131-125	5	5	6
124-118	10	13	10
117-111	11	16	13
110-104	20	23	25
103-97	23	14	22
96-90	15	15	15
89-83	10	6	6
82-76	2	5	2
75-69			
68-62	1		
61-55	1		

CURVAS 18 - 19 - 20 - 21 - 22

	IZQUIERDA						DERECHA					1.ª	2.ª	1.ª	2.ª
	T.G.	L.	Zz.	C.	P.	U.	L.	Zz.	C.	P.	U.	T.I.	T.I.	T.D.	T.D.
183–193. . .				1								1			
172–182. . .				1								1			
161–171. . .			1	2		1			2		1	3	1	2	1
150–160. . .				8	2	1		1	10	6		8	4	11	6
139–149. . .		1	1	4	5	4	2	1	13	7	3	6	7	16	15
128–138. . .	1	10	6	14	4	15	15	4	12	6	15	30	19	30	21
117–127. . .	18	32	9	17	13	13	31	13	14	7	10	58	26	56	22
106–116. . .	29	32	11	15	9	25	32	9	12	14	33	58	24	53	47
95–105. . .	31	22	23	25	11	25	10	25	22	7	18	70	36	67	25
84–94. . . .	16	3	15	5	12	9	—	14	5	13	3	23	21	19	16
73–83. . . .	2		14	3	20	2	1	12	4	19	4	17	22	19	24
62–72. . . .			7	3	5	4		10	4	7		10	9	15	7
51–61. . . .			12		11			9	1	8	2	12	11	10	10
40–50. . . .			1	2	8	1		2	1	2		3	0	3	3
29–39. . . .					1					1			1		1
18–28. . . .										2					2

CUADROS DE CORRELACIÓN DE LAS DESVIACIONES PRIMARIAS (D.P.)

N.º	OBSERVACIÓN	r	ε_r	EP_r
1	Entre las medias de los totales en plano sagital de 1.ª y 2.ª partes	+0.22	0.095	0.064
2	Entre las medias de mano derecha de 1.ª y 2.ª partes.....	+0.29	0.091	0.061
3	Entre las medias de mano izquierda de 1.ª y 2.ª partes.....	+0.18	0.096	0.064
4	Entre las medias de los totales de z gzags y paralelas.....	+0.01	0.099	0.0673
5	Entre las medias de zigzags y paralelas de mano i zquierda....	—0.16	0.0974	0.065
6	Entre las medias de zigzags e paralelas de mano derecha....	+0.07	0.0995	0.067
7	Entre las medias de total general y z igzags.....	+0.54	0.0708	0.047
8	Entre las medias de total general y paralelas.	+0.65	0.057	0.038
9	Entre las medias de tota general y lineogramas.....	+0.37	0.0863	0.058
10	Entre las medias de tota general y úes...	+0.59	0.065	0.043
11	Entre las medias de total general y cadenas.....	+0.69	0.052	0.035
12	Entre lineogramas y úes d mano derecha.....	+0.20	0.096	0.064
13	Entre lineogramas y úes de mano izqueirda.....	+0.21	0.095	0.06


DEDO PRIMARIO
PLANO SAGITAL
GRAFICO 1
Frecuencia
Total
1ª Parte
2ª Parte
Milimetros
GRAFICO 2
Frecuencia
Total
Mano izquierda
Mano derecha
Milimetros
GRAFICO 3
Frecuencia
Milimetros
GRAFICO 4
Frecuencia
Milimetros

DESVIO PRIMARIO - PLANO SAGITAL

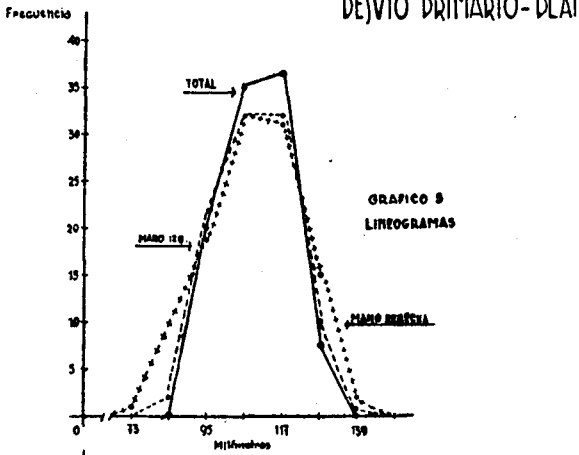


GRAFICO 5
LINEOGRAMAS

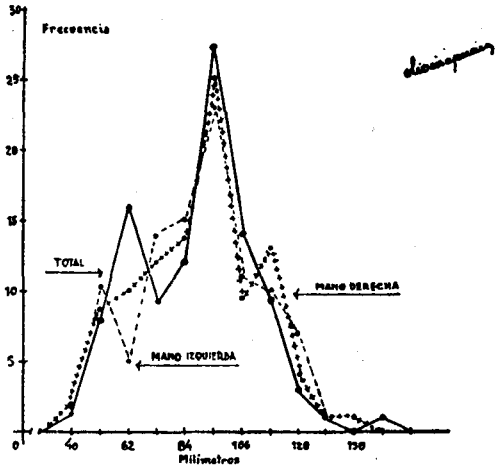


GRAFICO 6
ZIG-ZAG

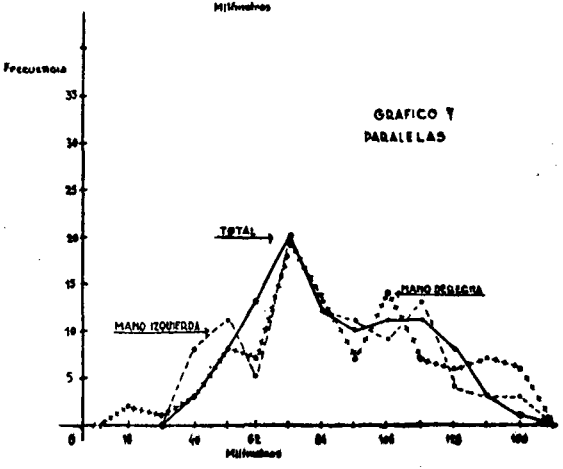


GRAFICO 7
PARALELAS

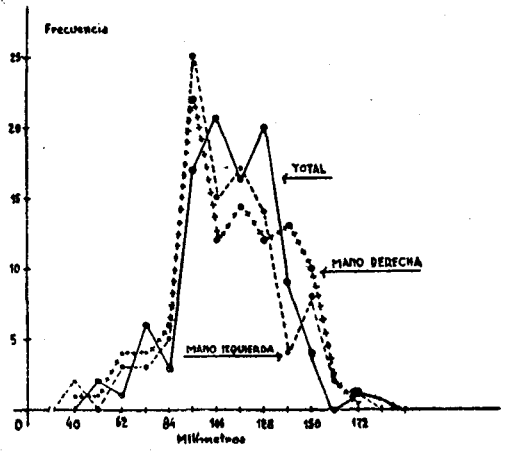


GRAFICO 8
CADERAS

DESVIO PRIMARIO
PLANO SAGITAL

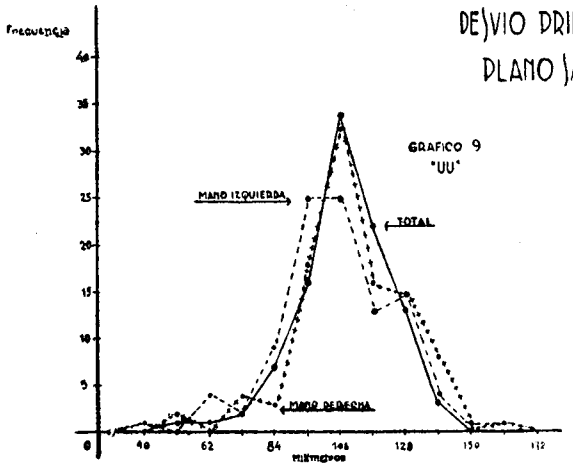
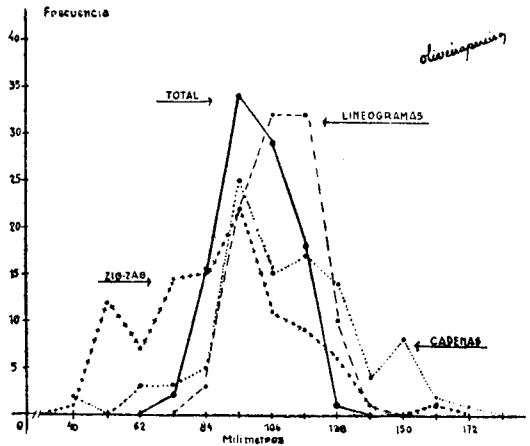


GRAFICO 9
"UU"

GRAFICO 10
1ª PARTE
(MANO IZQUIERDA)



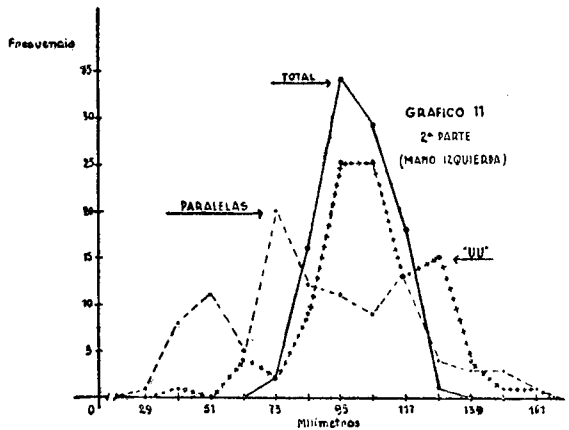
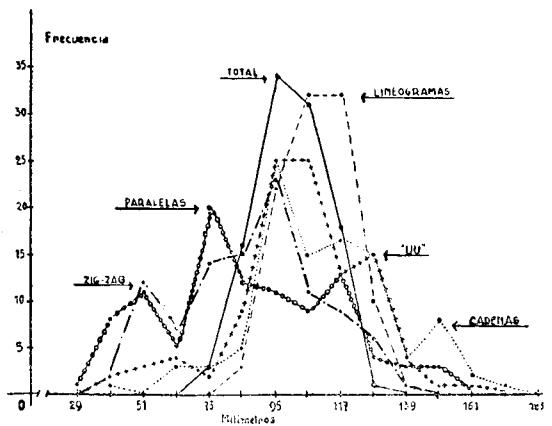


GRAFICO 11
2ª PARTE
(MANO IZQUIERDA)

GRAFICO 12
1ª E 2ª PARTES
(MANO IZQUIERDA)



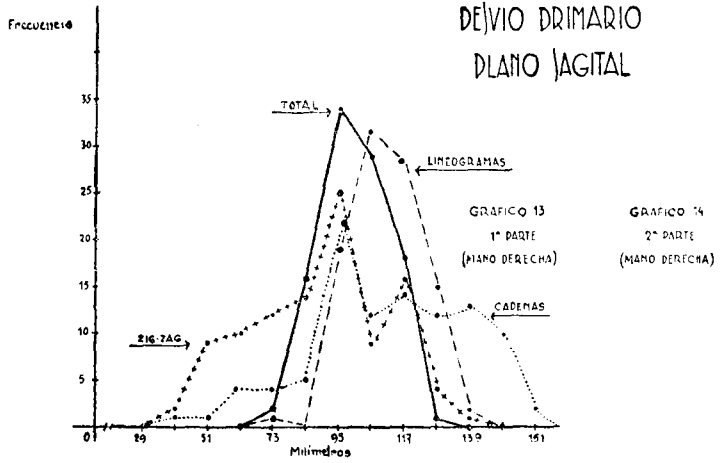
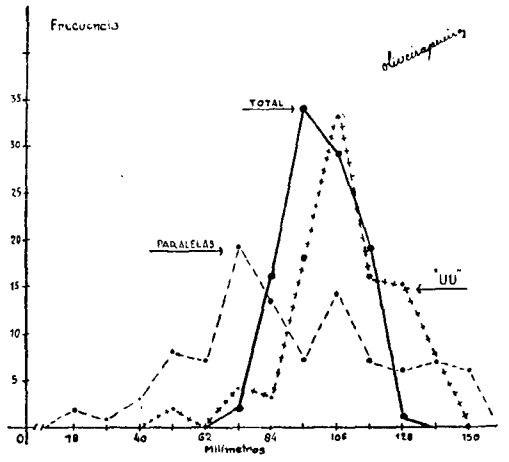


GRAFICO 13
1ª PARTE
(MANO DERECHA)

GRAFICO 14
2ª PARTE
(MANO DERECHA)



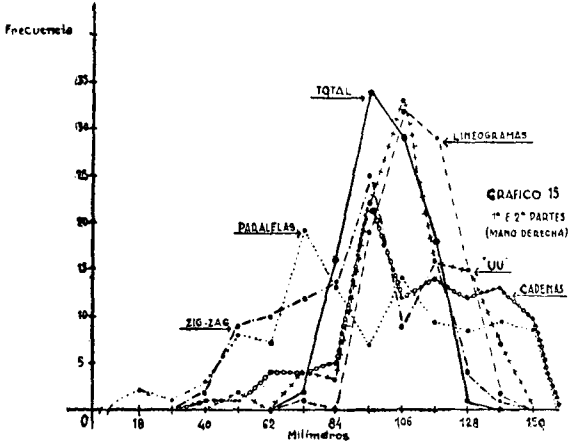
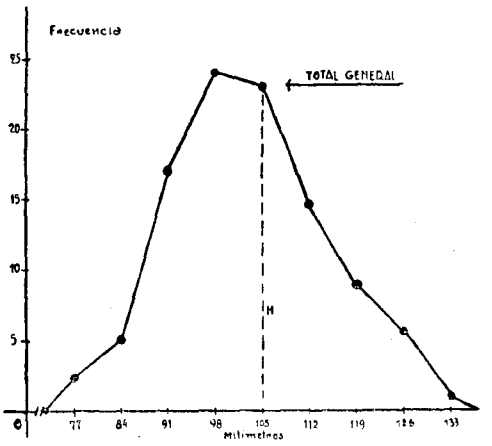


GRAFICO 15
1ª E 2ª PARTES
(MANO DERECHA)



RÉSUMÉ

Les AA. s'ont proposé verifier par l'étude des corrélations des déviations primaires du test P. M. K. la fidelité du test pour déceler l'aggresivité de 100 adolescents du sexe masculin. Ceux-ci ont été pris au hasard parmi les élèves des cours secondaires dans la ville de Rio de Janeiro.

Ses conclusions sont favorables et signalent que le test possède un haut degré de "coherence interne". Elles signalent aussi que les "chaines" (sagitales) sont plus significatives que le reste des tracés pour la mesure de l'aggresivité.

SUMMARY

The AA. endeavour to study the reliability of the D.P. of the Myokinetic Test of Mira for detecting aggresivity. A hundred of male adolescents have been sumitted to the test and the correlations of its measures have been obtained. After the statistical analysis of data a favorable conclusion has emerged, concerning the "internal coherence" of the test. They point out also that the "chains" (saggital) are the most significant part of the test for detecting aggresivity.